

接着型薄膜測溫계이지式 熱流센서의開発에關한研究

한웅교 / 박두원, 최규철* / 노병우 / 이명호
한양대학교 정밀기계공학과 / 한양대학교 대학원 정밀기계공학과
/ 한대전자 산업과학연구소 / 서울 산업대학 기계설계학과

ABSTRACT

In this study on the development of the heat flux sensor, unlike common heat flux sensor with thermocouple, the heat-treated adhesive type film nickel gauge(Ni-Gauge) for measuring temperature was used, and this Ni-gauge is not only comparable for platinum gauge(Pt-Gauge) in linearity, but also economically cheap.

And from this viewpoint, numerical analysis is essential to investigate characteristics of sensor, since this analysis is capable of simulating precise boundary conditions and practical conditions and so on.

By the way, there are many types of heat flux sensor, of which adhesive type flux sensor is most common, in the study this type of heat flux sensor was chosen, and analysis of the sensor is considered as a kind of open cavity figure, performed by SIMPLE algorithm.

As a result, through temperature distribution of the sensor by numerical analysis in steady and unsteady state, the characteristics of the adhesive type heat flux sensor(1st heat flux sensor) according to heat flux, that is, output voltage, sensitivity, and responsiblity could be evaluated, in addition, those of improved heat flux sensor(2nd heat flux sensor) could be predicted from the reflection of proper operating temperature(150 °C) of the Ni-Gauge.

I. 序論

最近, 热의問題는 에너지面에서嚴格하게檢討할必要가 커져서, 당연한結果로서热의 移動量 즉 “热流值”를正確히把握할 필요가 생겼다. 중리에 이들의热流值은 각각 温度計測值을 기본으로热傳導方程式으로 계산되었다.¹⁾⁽²⁾

그런데, 方程式을 사용해서热流의 크기를 구하는方法은, 상당히 큰誤差를 가져올 우려가 있으므로, 이러한誤差가 수십% 정도로 수습되는例子는 오히려 좋은 편이며, 計算誤差를 10% 이내로 수습하는 것이 비교적 용이한 수가 많아서热流의直接測定에意義³⁾가 있는 것이다.

그런데, 종래의表面溫度를 알기 위한測溫계이지로서는白金센서가 가장精密正確度 좋은 계이지도 알려져 있으나, 경제적側面에서 일부분에서만이 實用화가 이루어져 있는 실정이고, 따라서表面溫度의測定이 더욱要求되는热流센서에서는抵抗變化式热流센서보다는 열전장율 이용한热流센서가 대부분을 차지하고 있다.¹⁾⁽²⁾⁽³⁾⁽⁴⁾

이에 대해, 本研究에서는热流센서의 주류를 이루는 기준의 열전상율 이용한热流센서(슈미트형热流센서나 보열형의热流센서 등)와는 달리, 本研究室에서研究된 바 있는, 白金센서에 상당하는精密正確度의直線性을 가지면서도經濟的으로도 저렴한热處理된接着型薄膜測溫계이지式热流센서의開發에 따른特性에 관해 정확한境界條件 등의 완벽한情報나 실계적인條件등의 모사가 가능한數値的方法을 통하여 평가하여 보았다.

热流센서에는 여러 형태의热流센서가 있으며, 그 가운데 가장 일반적인表面付着型热流센서의 형태를 고려하였으며, 이것은 바깥쪽의放熱面이 공기중에 노출되어 있는 상태이므로 일종의 오픈 캐비티¹⁾⁽²⁾⁽³⁾의 형상이되며, 바깥면은自然對流에 의해熱傳達이 이루어진다. 이러한 경우에는 심플러 알고리즘¹⁾⁽²⁾이 적용될 수 있다.

또한 위의 수치적 해석의 결과로 부터 얻은 온도의定常的·非定常的溫度分布는 바로热流센서의特性에 직접적인 영향을 미치게 되므로, 이로 부터热流센서에 대한特性를鑑測評價할 수 있었다.

II. 理論

2.1 热流센서의 测定原理

HEAT FLUX SENSOR

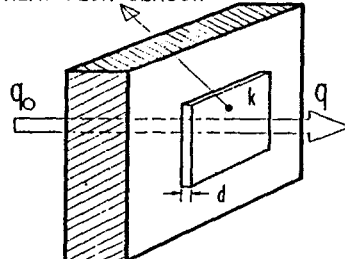


Fig. 1 Measurement Principle of Heat Flux Sensor

Fig. 1과 같이 热傳達이 되고 있는 固體表面에, 热傳導率이 k ($W/(m \cdot ^\circ C)$)이고 두께 $d(m)$ 가 충분히 작은 薄板을 부착했다고 하면, 薄板의 두께가 충분히 작을 경우 그 放熱面에서의 放散 热流密度도 $q=q_a$ 로 되어서 그 값이 구해진다. 以上이 현재 가장 많이 사용되는 薄板型 热流传感器의 原理이다.

2.2 어댑터(Adaptor) 회로의 構成

接替型 薄板 測溫 개이지는 보통 다음과 같이 어댑터를 부착하여 感度를 충분히 低下시키도록 하는 構造로 사용된다.

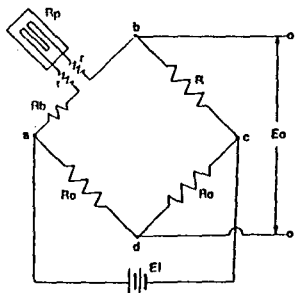


Fig. 2 Circuit of 2 Line Type Adaptor
(for 1 Active Gauge Method)

여기서 α 와 α' 의 關係는, 브릿지의 平衡條件에 따라

$$R_{Total} = R_p + R_b \quad (\text{Lead線 抵抗無視}) \quad (1)$$

가 되며, 温度變化에 따른 抵抗變化를 ΔR 로 한 경우, ΔR 은,

$$\Delta R = \Delta R_p$$

$$\alpha' = \frac{\Delta R}{R} = \frac{\Delta R}{\Delta R_p} \frac{\Delta R_p}{R_p} \frac{R_p}{R} \quad (2)$$

이 고, $\alpha = \Delta R_p/R_p$, $R = nR_p$, $\Delta R/\Delta R_p = 1$ 로 되는 關係式에서

$$\alpha' = \frac{1}{n} \alpha \quad (3)$$

가 되고, 이것은 α 가 $1/n$ 만큼 감소된 것을 보이고 있다.

2.3 表面付着式热流传感器의 热傳達 解析

本 セン서의 正常 및 非定常狀態의 解析을 하기 위해서는 열류가 セン서의 수열면에 가해지고, 그 열이 セン서의 방열면으로 흐르도록 사방이 단열되었고, 방열면은 공기에 접해있다고 생각되므로 아래의 Fig. 3과 같은 幾何學的 形象으로 나타낼 수 있으며, 이것은 2次元 層流 自然對流로서 일종의 오픈 캐비티(Open Cavity)의 模様이 되며, 數値的으로 解析될 수 있다.

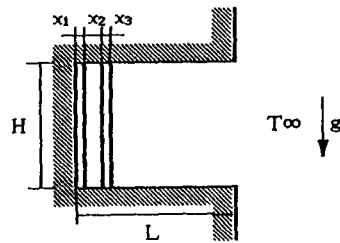


Fig. 3 Open Cavity Geometry
with Heat Flux Sensor at the Left

2.3.1 支配方程式

本研究에 따르는 假定은 Boussinesque 近似 (Boussinesque Approximation)과 一定 물성치 (Constant Properties)의 條件이며, 다음과 같은 支配方程式 (Governing Equations)가 적용된다.

2次元 層流 流動을 支配하는 連続方程式과 運動量方程式 그리고 에너지方程式은 捷解 소산이 없는 경우 다음과 같다.

Continuous Equation :

$$\frac{\partial \rho}{\partial t} + \frac{\partial}{\partial x} (\rho u) + \frac{\partial}{\partial y} (\rho v) = 0 \quad (4)$$

Momentum Equation :

$$\begin{aligned} \frac{\partial \rho}{\partial t} (\rho u) + \frac{\partial}{\partial x} (\rho u^2) + \frac{\partial}{\partial y} (\rho uv) = \\ - \frac{\partial p}{\partial x} + \frac{\partial}{\partial x} \left[\mu \frac{\partial u}{\partial x} \right] + \frac{\partial}{\partial y} \left[\mu \frac{\partial u}{\partial y} \right] \end{aligned} \quad (5)$$

$$\begin{aligned} \frac{\partial}{\partial t} (\rho v) + \frac{\partial}{\partial x} (\rho uv) + \frac{\partial}{\partial y} (\rho v^2) = \\ - \frac{\partial p}{\partial y} - \rho g + \frac{\partial}{\partial x} \left[\mu \frac{\partial v}{\partial x} \right] + \frac{\partial}{\partial y} \left[\mu \frac{\partial v}{\partial y} \right] \end{aligned} \quad (6)$$

Energy Equation :

$$\begin{aligned} \frac{\partial}{\partial t} (\rho c_p T^\circ) + \frac{\partial}{\partial x} (\rho u c_p T^\circ) + \frac{\partial}{\partial y} (\rho v c_p T^\circ) = \\ \frac{\partial}{\partial x} \left[k \frac{\partial T^\circ}{\partial x} \right] + \frac{\partial}{\partial y} \left[k \frac{\partial T^\circ}{\partial y} \right] \end{aligned} \quad (7)$$

또한, 垂直方向으로는 陰의 方向으로 重力가 作用하고 있으므로, 方程式(6)은 다음과 같이 된다.

$$\frac{\partial}{\partial t}(\rho u) + \frac{\partial}{\partial x}(\rho u v) + \frac{\partial}{\partial y}(\rho v^2) = -\frac{\partial(p - p^\infty)}{\partial y} - (\rho - \rho^\infty)g + \frac{\partial}{\partial x}\left(\mu \frac{\partial u}{\partial x}\right) + \frac{\partial}{\partial y}\left(\mu \frac{\partial v}{\partial y}\right) \quad (8)$$

2.3.2 境界條件 및 數值의 接近解析

2次元으로 둘러싸인 自然對流에 對한 研究는 數值的問題에서 스트림函數나 速度를 變數로서 使用하고 있으나, 境界가 오른쪽에 있는 境遇에는 스트림函數(Stream Function)나 漪度(Vorticity)를 考慮할 수 없다. 그러므로 한가지 接近方法으로는 오프닝되어 있는 入口 밖까지 計算領域을 擴張시키는 것이며, 本論文에서는 메모리空間 및 計算時間은 줄이는 方法으로서 키비티아내로 計算領域을 制限하였으며, SIMPLER(Semi-Implicit Method for Pressure Linked Equations Revised)알고리즘을 使用하였다.

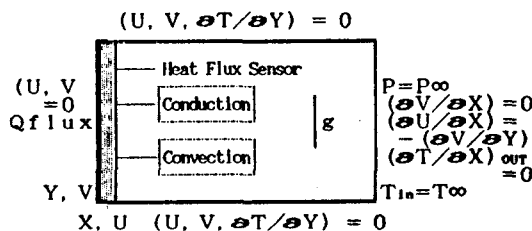


Fig. 4 Boundary Condition for Open Cavity with Heat Flux Sensor at the left

Fig. 4는 本研究에서의 境界條件를 보여주고 있다. 그림에서 左쪽 벽면에서는 일정한 热流가 공급되고 断熱되어 있으며, 위와 아래의 수평 벽면 또한 断熱되어 있고, 주위로 부터는 들어오는 流體는 공기이며 常溫(25°C)으로 설정되어 있으며, 境界面 밖으로 나가는 流體의 온도는 上界條件(Upwind Condition)을 만족하고 있으며 對流가 지배적이라고 가정하였다.

또한 그리드 포인트는 20×50 의 엇갈린 격자망(Staggered Grid System)으로 하였고, 그림에서 热은 센서부분에서의 傳導에 의한 다음 對流에 의해 傳達된다.

2.3.3 SIMPLER 알고리즘

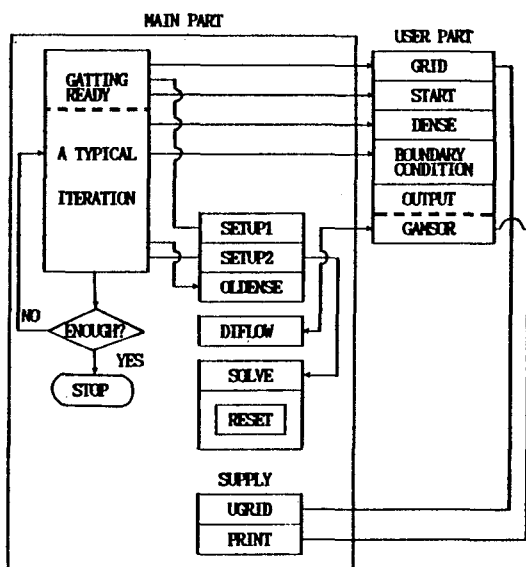


Fig. 5 Structure of Computer Program using SIMPLER Algorithm

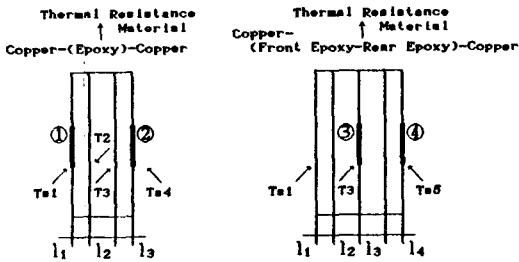
Fig. 5는 本研究에서 사용한 프로그램의 구조이며, 메인 프로그램과 서브루틴 프로그램으로 이루어져 있으며, Setup1과 Setup2는 각각 几何學的情報計算 및 離散化(Discretization)하는 과정을 하고 있으며, Diflow에서 方程式의 形태를 결정하게 된다.

또한 數值計算의 간략한 節次는 다음과 같다.

1. 從屬變數(U, V, P, T)의 初期值를 設定하거나 調整한다.
2. 運動量 方程式의 係數들을 계산하고, 가장 속도를 얻는다.
3. 壓力場을 계산한다.
4. 세로운 壓力場을 근거로 하여 運動量 方程式을 풀다.
5. 質量 生成式을 계산하고, 壓力修正方程式을 풀다.
- 그리고 速度場을 계산한다. 이때 壓力은 修正하지 않는다.
6. 세로운 速度場을 사용하여 세로운 溫度場을決定한다.
7. 수렴화를 얻을 때 까지 위의 순서 2로 가서 반복 계산한다.

2.4 接着型 薄膜 溫度 계이지式 热流센서의 構造

Fig. 6은 1·2次 热流센서의 断面에서의 測量계이지의 位置를 보이고 있다.



①, ②, ③, ④ : Contact-Film Temperature Gauge
 (a) First Heat Flux Sensor (b) Second Heat Flux Sensor
 Fig. 6 Cross-Section Schematic Diagram
 of Contact-Film Temperature Gauge Type Heat Flux Sensor

本研究에서試作한接觸型薄膜測溫계이지式熱流센서는 다음에 나타낸 Fig. 7과 같이熱流密度를測定하기 위한定電壓워이트스로운 브릿지(Constant-voltage Wheatstone Bridge)의 2액티브(Active)계이지法으로 어댑터回路을 적용한 구조를 하고 있으며, 이 후의 결과도 Fig. 8의 구조의 가정하에 계산하였다.

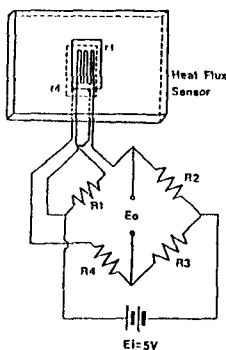


Fig. 7 Schematic Diagram of Component Circuit of Contact-Film Temperature Gauge Type Heat Flux Sensor

그림에서 $(R_1+r_1) R_3 = R_2 (R_4+r_4)$ 가 만족되어平衡이 이루어지고, $E_0 = 0$ 가 된 후, (R_1+r_1) 과 (R_4+r_4) 가變化하여 Δr_1 과 Δr_4 로變化하게 되면, 出力電壓 ΔE_0 는 다음式으로 된다.

$$\Delta E_0 = \frac{(R_1+r_1+\Delta r_1) R_3 - R_2 (R_4+r_4+\Delta r_4)}{(R_1+r_1+\Delta r_1+R_2) (R_3+R_4+r_4+\Delta r_4)} E_1 \quad (9)$$

Higher-order項을無視하고 $r = (R_1+r_1)/R_2$ 로 하면, 式(9)는 다음과 같이 되어 브릿지의出力電壓은抵抗變化에對한線型函數가 된다.

$$\Delta E_0 = \frac{r}{(1+r)^2} \left[\frac{\Delta r_1}{R_1+r_1} - \frac{\Delta r_4}{R_4+r_4} \right] E_1 \quad (10)$$

결국 위의式으로부터, 热流센서의 바깥表面溫度의變化值의差異에比例하는出力電壓을 얻을 수 있도록 되어 있다.

또한, Higher-order項을考慮하게 되면, ΔE_0 는 $\Delta R/R$ 의非線型函數로 다음과 같이表現된다.

$$\Delta E_0 = \frac{r}{(1+r)^2} \left[\frac{\Delta r_1}{R_1+r_1} - \frac{\Delta r_4}{R_4+r_4} \right] (1-\eta) E_1 \quad (11)$$

여기서, η 는 다음과 같다.

$$\eta = \frac{1}{1 + \frac{\Delta r_1}{R_1+r_1} + \frac{\Delta r_4}{R_4+r_4}} \quad (12)$$

III. 結果 및 考察

3.1 薄膜測溫계이지의 抵抗測定

Fig. 8은恒溫槽에서热流센서에 부착된測溫계이지의溫度變化에 따른抵抗變化의特性을 보이고 있다. 그레프에서測溫계이지는 두개에 따라 그 기울기가 약간 증가함을 알 수 있으며, 이것은線膨胀係數가 큰 예측시 수치가 두개의 증가로測溫계이지에 약간의 영향을 미치기 때문이라고 생각된다. 그러나 전체적으로는 기울기가 크게 다르지 않고, 또한 고려하는 예측시 수치의 두개도 1~3m⁻¹/K로 시뮬레이션의 데이터로는 이 그레프 전체의平均으로 하였다.

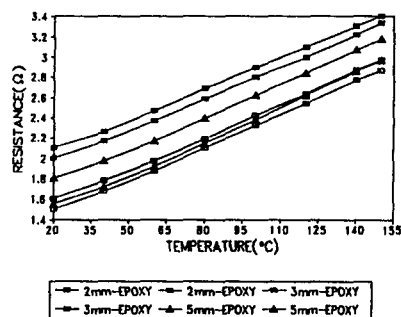


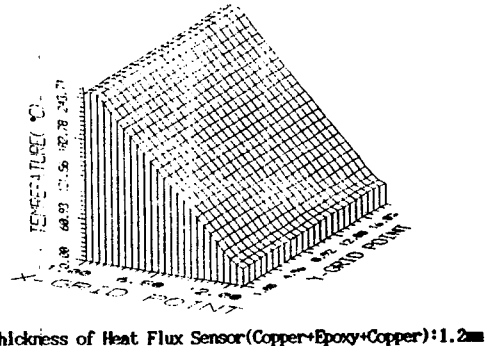
Fig. 8 Relation of Resistance and Temperature of Film Temperature Gauge Attached to Heat Flux Sensor

3.2 1次熱流센서의 特性

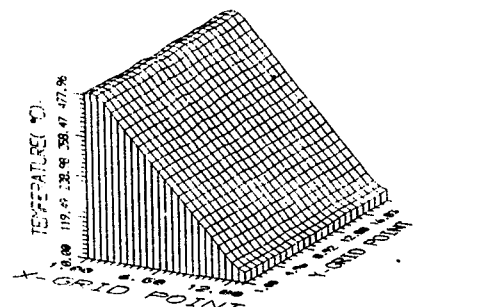
3.2.1 定常狀態에서의 热流센서의 特性

3.2.1-1 定常狀態에서의 센서의 温度分布

Fig. 9의 (a), (b)는 定常狀態에서의 横斷面에서의 一定 热流(40Watt/m^2)에 대한 温度分布를 나타내고 있다. 그림에서 Y방향으로는 그리드 포인트(Grid Point) 20까지가 각각 센서의 높이 10cm에 해당하며, (a)에서는 X방향 그리드 포인트 12까지가 두께 1mm, (b)에서는 두께 2mm에 해당한다. 그림에서 (a), (b) 모두 X방향으로의 증가에 따라 온도가 감소하고 있으며, 특히 Y방향으로는 미소하나 그리드 포인트의 증가와 더불어 温度가 증가하고 있음을 알 수 있다. 이것은 공기가 热流함으로써 오는 결과라고 생각된다. 때문에 測温계이지의 付着位置에 따라 약간의 温度差이 발생할 것이며, 또한 热流가 증가함에 따라 이 영향은 상당히 증대될 것이다. 앞으로의 결과는 Y방향의 그리드 포인트 가운데 중앙의 11포인트에 測温계이지가 위치해 있다고 생각하고結果를 考察한다.



(a) Thickness of Heat Flux Sensor(Copper+Epoxy+Copper): 1.2mm



(b) Thickness of Heat Flux Sensor(Copper+Epoxy+Copper): 2.2mm

Fig. 9 Steady-state Temperature Distribution of Heat Flux Sensor

3.2.1-2 热流센서의 出力電壓과 感度

Fig. 10은 热流와 热流센서의 出力電壓의 關係를 나타낸다. Fig. 11은 애폭시 수지의 두께 변화에 따른 센서의 感度를 나타낸다. 위의 두 결과는 퀵트로운 브릿지에 5V(이하 모두 5V의 定電壓을 인가하였을 때의 出力を 나타낸다.)의 定電壓을 인가하였을 때의結果이며, 热流에 따라 센서의 出力電壓이 비례해서 증가하며, 두께의 증가에 의하여 感度가 증가함을 알 수 있다.

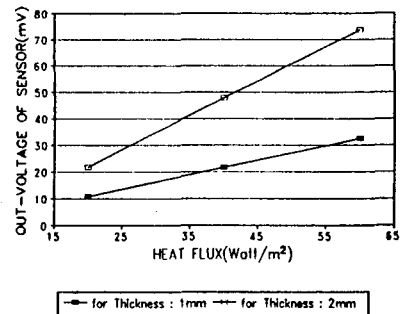


Fig. 10 Relation of Out-Voltage of Sensor and Heat Flux

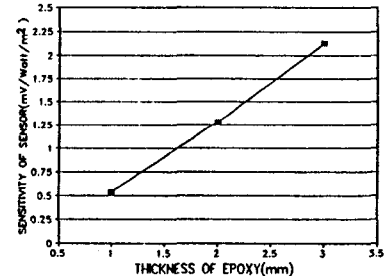
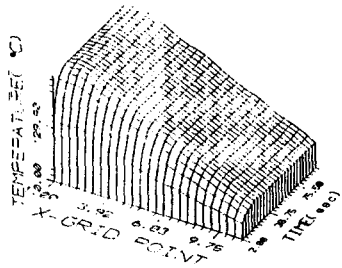


Fig. 11 Relation of Sensitivity of Sensor and Thickness of Epoxy

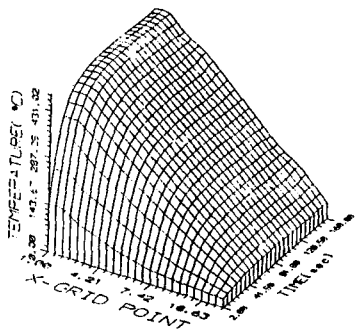
3.2.2 非定常狀態에서의 热流센서의 特性

3.2.2-1 热流센서의 非定常過程

Fig. 12의 (a), (b)는 非定常狀態에서의 각 그리드 포인트에서의 一定 热流(40Watt/m^2)의 시간의 변화에 대한 温度 커브를 나타내고 있다. 그림에서 放熱面쪽으로부터 吸熱面쪽으로 가면서 定常狀態에 이르는데 까지의 시간이 더 소요되며, 두께에 따라서는 Fig. 12의 (a)보다는 (b)에서 전반적으로 더욱 지연된 非定常過程을 보이고 있음을 알 수 있다.



(a) Thickness of Heat Flux Sensor(Copper+Epoxy+Copper): 1.2mm



(b) Thickness of Heat Flux Sensor(Copper+Epoxy+Copper): 2.2mm

Fig. 12 Unsteady-state Temperature Curve of Each Grid Point of Heat Flux Sensor

3.2.2-2 热流传感器的 非定常過程과 應答性

Fig. 13은 센서의 非定常過程을 보이고 있으며, Fig. 14는 두 개의 센서의 應答性 關係를 나타내고 있다. Fig. 13, 14로 부터 復測된 바와 같이 두개의 증가와 더불어 應答性도 遷延되고 있음을 알 수 있다.

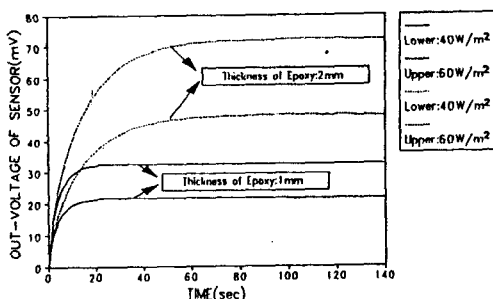


Fig. 13 Unsteady-state Out-Voltage Curve of Heat Flux Sensor

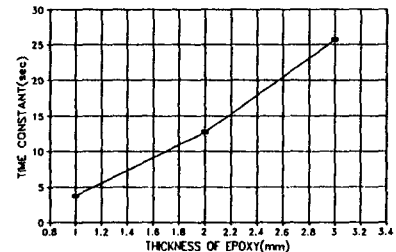


Fig. 14 Relation of Thickness of Epoxy and Time Constant

3.3 2次 热流传感器의 特性

3.2.1-1節의 Fig. 9에서와 같이 一定 热流 $40\text{Watt}/\text{m}^2$ 에서 에폭시 수지 1mm, 2mm에서의 收熱面의 温度는 각각 250°C , 477°C 이다. 지금까지의 結果는 니켈 혹은 게이지의 遷延 使用溫度를 고려하지 않고 계산한 것이다.

그러나 測量계이지의 遷延 使用溫度를 150°C 로 생각할 때, 收熱面에 그대로 부착시켜 사용할 수는 없으므로 보다 높은 热流量의 증정과 게이지의 遷延 使用溫度를 고려하여 에폭시 수지 내부에 게이지를 개제시킴으로서 热流量의 測定을 개선할 수 있다.

Fig. 15는 에폭시 수지 2mm인 경우에 放熱面의 게이지는 고정 시킨 상태에서 收熱面으로부터 測量계이지의 위치를 이동시켰을 때의 出力電壓의 時定數를 나타내고 있으며, 위치의 증가에 따라 時定數가 증가함을 알 수 있다.

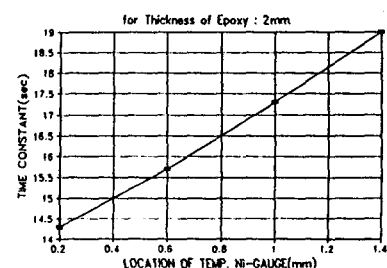


Fig. 15 Relation of Location of Temperature Ni-Gauge and Time Constant

또한, Fig. 16은 공급되는 热流에서 150°C 가 되는 위치를 나타내고 있는 것으로서, 예를 들어, 收熱面에 공급되는 热流가 $40\text{Watt}/\text{m}^2$ 에서는 에폭시 수지 1mm, 2mm의 경우 각각 약 0.62, 1.73의 위치 이후에서 게이지의 遷延 使用溫度를 만족시키게 된다.

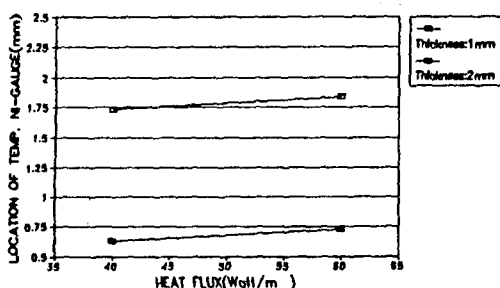


Fig. 16 Relation of Heat Flux and Proper Location of Ten Gauge

IV. 結論 論述

接着型 薄膜 測溫계이지식 熱流센서에 관한 特性을 評價하는 데 있어 심플리 알고리즘을 이용하고, 이로 부터 얻은 結果에서 다음과 같은 結論을 얻었다.

[1] 이상의 결과에서 예측시 수지의 두께가 증가하면 定常狀態에서 보이는 出力電壓, 感度는 좋으나 수지내부의 溫度는 증가하여 測定熱流의 範圍가 좁아지고, 非定常過程에서 나타나는 應答特性이 떨어지며, 따라서 測定熱流의 範圍나 따른 應答特性이 要求되며, 센서의 전체 두께나 계이지의 위치 등의 構造選擇이 필요하며 이를 고려함으로써 실질적인 측정에 접근시킬 수 있음을 알 수 있었다.

[2] 本研究의 熱流센서의 一定 热流에 대한 温度分布로 부터 热流센서의 定常·非定常에서의 예측시 수지 1mm, 2mm, 3mm에 대하여 出力電壓과 感度(각각 0.54, 1.28, 2.13 [mv/Watt/m²]), 應答特性(각각 4.2, 13.1, 26.3[sec])의 센서의 特性에 대하여 알 수 있었다(1次 热流센서).

[3] 測量·나침 계이지의 温度 特性으로 인하여 本 热流센서는 測定 热流量에 따라 使用範圍가 한정되어, 일부에 대하여 測定 热流量에 따른 適定 位置의 條件(예측시 수지 1mm, 2mm의 경우 40Watt/m²까지 測定하기 위해서는 収熱面으로부터 0.62, 1.73mm) 후로 계이지의 위치를 선택)을 계시할 수 있었다(2次 热流센서).

参考文 廣大

- 1) 岩橋貞夫, 热センサ入門, 啓學出版, pp123~214, 1984.
- 2) 社團法人 計量管理協会, 計測センサ-利用技術調査研究委員会, センサの原理と使い方(3)<温度・化學センサ>, コロナ社, pp130~148, 1984.
- 3) 栗原至道, 新開發フォイル型熱流計について, 関西造船協議誌, No.153, pp1~8, 1974.
- 4) 金谷英一, 热流計(2), 空氣調和・衛生工學 52(11), pp59~65, 1978.
- 5) 戸川達男, Sensor for Biomedical Measurement, Corona Publishing Co., LTD., pp329~334, 1986.

- 6) 轉應教外 3名, 接着形 薄膜 測溫계이지의 温度特性에 關한 研究, 空氣調和・冷凍工學 論文集 第 2卷 第4號, pp327~339, 1990.
- 7) 轉應教外 1名, Foil Stain Gauge의 國產化 및 接着技術에 關한 研究, 漢陽大 產業科學研究所 論文集 第 29集, pp145~156, 1980.
- 8) 轉應教外 2名, Sputter加工法을 이용한 ストライエン계이지의 開發 및 特性에 關한 研究, 轉應非破壊検査學會紙 第 16號 Vol.9 No.2, pp50~60, 1989.
- 9) 越川泰直, 薄膜白金溫度センサ STD-101, Electronic Monthly, No.202, pp1~4, 1982.
- 10) 緒方一雄, 薄膜白金溫度センサ, センサ技術2, No.9, pp111~113, 1982.
- 11) Y.L.Chan, C.L.Tien, A Numerical Study of Two-dimensional Natural Convection in Square Open Cavities. Numerical Heat Transfer, Vol.8, pp.65~80, 1985.
- 12) Suhas V. Patankar, Numerical Heat Transfer and Fluid Flow
- 13) Y.L.Chan, C.L.Tien, A Numerical Study of Two-dimensional Laminar Natural Convection in Shallow Open Cavities. Int.J.Heat Mass Transfer, Vol.28, No.3, pp.603~612, 1985.